

05;12

ГИСТЕРЕЗИСНЫЕ ПОТЕРИ В МНОГОВОЛОКОННЫХ НИОБИЙ-ОЛОВЯННЫХ КОМПОЗИТАХ С ТАНТАЛОВЫМ ДИФФУЗИОННЫМ БАРЬЕРОМ

© И.А.Руднев,¹ В.Ф.Елесин,¹ Л.А.Опенов,¹
А.К.Шиков,² А.Е.Воробьева,² А.М.Чукин²

¹ Московский государственный
инженерно-физический институт (технический университет),
115409 Москва, Россия

² Всероссийский научно-исследовательский институт
неорганических материалов им. А.А.Бачвара,
123479 Москва, Россия

(Поступило в Редакцию 10 июля 1995 г.)

Представлены результаты измерения гистерезисных потерь в сверхпроводящих многоволоконных ниобий-оловянных композитах с tantalовым диффузионным барьером при циклическом изменении магнитного поля в диапазоне ± 3 Тл. Установлено, что допустимый для использования в магнитных системах ITER уровень гистерезисных потерь $Q_h < 200$ мДж/см³ имеют композиты с числом волокон $N_f = 4675$ и 7225. Увеличение N_f ведет к росту Q_h до 800 мДж/см³ при $N_f = 25531$. Экспериментальные данные сопоставлены с расчетами гистерезисных потерь, выполненными в предположении об аддитивном вкладе волокон в полную величину потерь. Показано, что зависимость нормированных гистерезисных потерь от амплитуды магнитного поля является универсальной для всех композитов независимо от величины N_f .

Введение

В последнее время произошел значительный прогресс в технологии изготовления длинномерных (более 1.5 км) сверхпроводящих многоволоконных композитов (СМК) на основе интерметаллического соединения Nb₃Sn с высокой токонесущей способностью в сильных (до 12 Тл) магнитных полях. Для успешного применения этих СМК в магнитных системах ITER (International Thermonuclear Experimental Reactor) необходимо добиться кроме высоких критических токов I_c достаточно низкого уровня потерь. Основными составляющими полных потерь в СМК, работающих в переменных полях или на переменном токе, являются: 1) гистерезисные потери, обусловленные перемагничиванием сверхпроводящих волокон, и 2) коллективные потери, определяемые условиями перетекания экранирующих токов через матрицу СМК.

Как свидетельствуют многочисленные эксперименты и теоретические расчеты, при малых скоростях изменения магнитного поля (что соответствует реальному режиму работы магнитных систем ITER) гистерезисные потери преобладают.

В настоящей работе приведены результаты исследований гистерезисных потерь в ниобий-оловянных СМК с различным числом волокон при циклическом изменении магнитного поля в интервале ± 3 Тл (в этом диапазоне полей максимально допустимый для использования в магнитных системах ITER уровень гистерезисных потерь составляет $Q_h = 200 \text{ мДж/см}^3$, что наряду с высоким I_c является одним из критериев качества СМК). Показано, что, хотя увеличение полного числа волокон в СМК и приводит к существенному росту I_c , потери при этом также возрастают и превышают уровень 200 мДж/см^3 . Обсуждаются возможные причины этого явления и его значение для совершенствования технологии изготовления СМК.

Образцы и методика измерений

Ниобий-оловянные СМК были изготовлены по бронзовой технологии [1]. Они имели диаметр $D_w = 0.8 \text{ мм}$ и содержали от $N_f = 4675$ до 25531 ниобиевых волокон в бронзовой матрице (Cu-13.5 мас.%Sn), отделенной от стабилизирующей медной оболочки tantalовым барьером. Шаг твиста составил $L_p = 10-12 \text{ мм}$. Диффузионный отжиг, необходимый для формирования сверхпроводящей фазы Nb_3Sn , проводился в вакууме при $T = 560-650^\circ\text{C}$ в течение 350 ч. Параметры СМК приведены в табл. 1.

Образцы, использовавшиеся для измерения гистерезисных потерь, представляли собой незамкнутые однослойные спирали СМК с внутренним диаметром 6 мм и длиной 4 см. Такая форма образцов обеспечивает перпендикулярность внешнего магнитного поля (которое было параллельно оси спирали) и композита на всей длине последнего.

При измерении гистерезисных потерь использовался метод интегрирования магнитного потока [2]. Он состоит в том, что на малых скоростях изменения внешнего магнитного поля производится регистрация намагниченности при циклическом изменении поля, а затем по площади полученной петли гистерезиса определяются потери. Регистрация петли производилась следующим образом. Исследуемый образец помещался между двумя измерительными катушками длиной 2 см каждая. Эти катушки были включены навстречу друг другу и предварительно скомпенсированы так, чтобы в отсутствие образца суммарная эдс при изменении внешнего магнитного поля равнялась нулю. Изменение намагниченности образца в переменном магнитном поле вызывало появление эдс, которая интегрировалась по времени с помощью высокостабильного электронного интегратора. Полученный в результате интегрирования сигнал был пропорционален намагниченности образца. Он подавался на один из входов двухкоординатного графопостроителя. На другой вход подавался сигнал, пропорциональный величине внешнего магнитного поля (подробнее см. [2]).

Измерительные катушки с исследуемым образцом помещались в сверхпроводящий ниобий-титановый соленоид, который имел осевую неоднородность поля в зоне катушек менее 0.7%. Развертка внешнего

Таблица 1. Параметры сверхпроводящих многоволоконных композитов

Номер композита	Диаметр композита $D_w, \text{мм}$	N_f	$L_p, \text{мм}$	Содержание меди в композите, %	Диаметр волокон до отжига $D_f, \text{мкм}$	Среднее расстояние между волокнами до отжига, мкм	Коэффициент заполнения композита сверхпроводником η		$I_c, \text{А}$ ($B = 3 \text{ Тл}$)	$I_c, \text{А}$ ($B = 12 \text{ Тл}$)
							($B = 3 \text{ Тл}$)	($B = 12 \text{ Тл}$)		
П14/4	0.8	4675	10	64.0	3.5	1.6	0.22	380	66	
П16/7	0.8	7225	10	60.0	2.9	1.3	0.24	360	100	
П2/14	0.8	14641	12	51.5	2.5	1.0	0.28	770	103	
П3/25	0.8	25531	12	51.4	2.2	0.8	0.40	1170	131	

Таблица 2. Результаты измерений и расчета гистерезисных потерь

Номер композита	Измерение величины гистерезисных потерь за цикл $-3 < B < 3 \text{ Тл}$	$Q_h^2(B_m)$, мДж/см ³ (расчет)	S/S_0 (расчет)	$Q_h(B_m)$, мДж/см ³ (расчет)	Диаметр волокон до отжига $D_f, \text{мкм}$	Эффективный диаметр волокон $D_{\text{eff}}, \text{мкм}$	Усредненный эффективный диаметр волокон $D_{\text{eff}}^*, \text{мкм}$ (расчет при $B = 3 \text{ Тл}$)		Средний диаметр стренда $D_s, \text{мкм}$
							расчет	(расчет)	
П14/4	53 ± 10	16.9	2.28	38.5	3.5	5.0	4.9	4.7	
П16/7	143 ± 15	13.4	2.78	36.5	2.9	11.3	11.4	38	
П2/14	329 ± 33	19.3	1.76	33.7	2.5	23.6	24.0	38	
П3/25	778 ± 70	26.7	1.75	46.7	2.2	36.0	36.0	36	

магнитного поля была линейна; скорость изменения индукции магнитного поля составляла $dB/dt = 6 \cdot 10^{-3} - 6 \cdot 10^{-2}$ Тл/с. При измерениях добивались замкнутости для каждой петли гистерезиса.

Результаты измерений

По описанной выше методике для каждого из образцов регистрировались кривые намагничивания при циклическом изменении индукции магнитного поля в интервале $-B_m < B < +B_m$, где $B_m \leq 3$ Тл — максимальная величина B в цикле. В использованном диапазоне скоростей развертки магнитного поля форма и размеры петли гистерезиса (для данного образца) не изменялись, тогда как для образцов, изготовленных из СМК с различным числом волокон, форма и (или) площадь петли гистерезиса варьировались очень сильно. Примеры петель гистерезиса представлены на рис. 1-4.

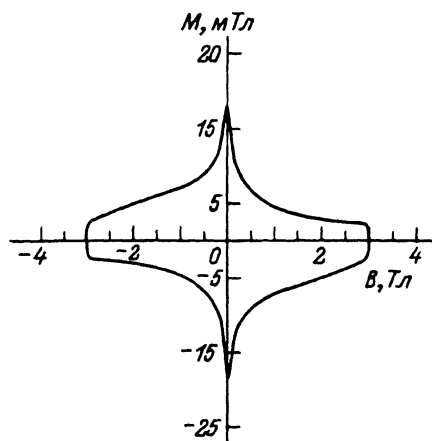


Рис. 1. Петля гистерезиса для композита П14/4.

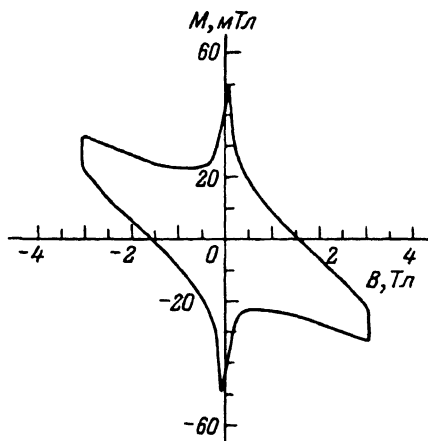


Рис. 2. Петля гистерезиса для композита П16/7.

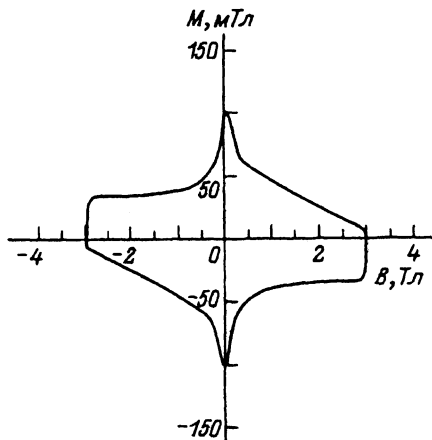


Рис. 3. Петля гистерезиса для композита П2/14.

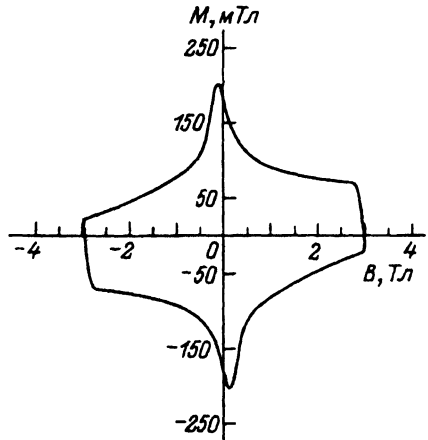


Рис. 4. Петля гистерезиса для композита П3/25.

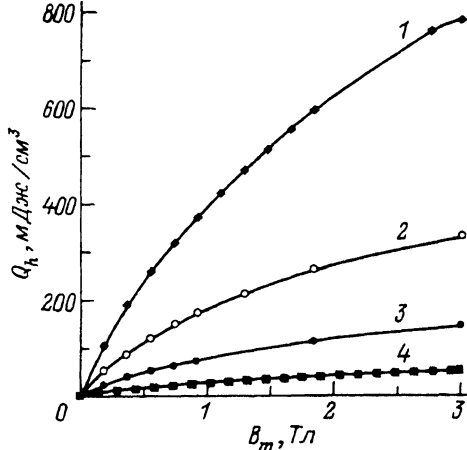


Рис. 5. Зависимости гистерезисных потерь Q_h от амплитуды магнитного поля B_m для композитов с разным числом волокон.

1 — П14/4, 2 — П16/7, 3 — П2/14, 4 — П3/25.

Удельные (в единице объема композита) гистерезисные потери Q_h за цикл равны площади петли гистерезиса

$$Q_h = \int_{-B_m}^{+B_m} \Delta M(H) dH = \mu_0^{-1} \int_{-B_m}^{+B_m} \Delta M(B) dB, \quad (1)$$

где ΔM — ширина петли гистерезиса, B — индукция внешнего магнитного поля, $\mu_0 = 4\pi 10^{-7}$ Гн/м.

Результаты измерений приведены в табл. 2. Видно, что при $B_m = \text{const}$ величина Q_h возрастает с ростом числа волокон в композите N_f и, начиная с $N_f = 14641$, превышает максимально допустимый для ITER при $B_m = 3$ Тл уровень 200 мДж/см³. Увеличение амплитуды магнитного поля B_m от 0 до 3 Тл ведет к монотонному росту Q_h . Зависимости Q_h от B_m для различных СМК изображены на рис. 5.

Расчет гистерезисных потерь

Гистерезисные потери в СМК могут быть оценены с достаточно хорошей точностью (10–20%) в рамках простой теоретической модели (см., например, [3]), основанной на предположениях 1) об аддитивном вкладе сверхпроводящих волокон в полную величину потерь и 2) о применимости модели критического состояния к расчету намагниченности волокон. Необходимым условием для проведения теоретической оценки является знание следующих параметров: диаметра композита D_w , шага твиста L_p , диаметра волокон D_f , полного числа волокон в композите N_f (или, что то же самое, коэффициента заполнения композита сверхпроводником $\eta = N_f D_f^2 / D_w^2$), а также зависимости критического тока композита I_c (или критической плотности тока J_c в волокнах) от индукции магнитного поля B в диапазоне $0 < B < B_m$, где B_m — максимальная величина B в цикле $-B_m < B < +B_m$, для которого делается оценка гистерезисных потерь.

Изложим кратко основные формулы, которые используются для оценки гистерезисных потерь в композитах, помещенных в перпендикулярное внешнее поле [3]. Поскольку в подавляющем большинстве случаев справедливо неравенство $D_w \ll L_p$, то в очень хорошем приближении можно считать, что магнитное поле перпендикулярно всем волокнам в композите. Далее, для практических целей обычно представляют интерес потери в больших магнитных полях $B_m > 1$ Тл. Эта величина B_m значительно превышает индукцию так называемого поля полного проникновения B_p , которая определяется формулой

$$B_p = \mu_0 J_c(B) D_f / \pi. \quad (2)$$

Действительно, для типичных значений $D_f \approx 1$ мкм и $J_c \approx 10^6$ А/см² имеем $B_p = 10^{-3} - 10^{-2}$ Тл. При $B > B_p$ все жилы находятся в насыщенном состоянии, т. е. плотность тока в них по абсолютной величине равна J_c . Если считать, что J_c не зависит от B (модель Бина), то при $B_m \gg B_p$ потери Q'_h за полный цикл $-B_m < B < B_m$ в единице объема волокна определяются формулой

$$Q'_h(B_m) = (8/3\pi) J_c D_f B_m. \quad (3)$$

Для реальных сверхпроводников (и тем более при больших значениях B_m) приближение $J_c(B) = \text{const}$ является очень грубым. Учет зависимости $J_c(B)$ приводит к изменению формулы (3)

$$\dot{Q}'_h(B_m) = (8/3\pi) D_f \int_0^{B_m} J_c(B) dB. \quad (4)$$

Для определения гистерезисных потерь Q_h в единице объема композита (без учета Си) следует умножить величину \dot{Q}'_h на коэффициент заполнения композита сверхпроводником η (см. выше)

$$Q_h(B_m) = (8/3\pi) \eta D_f \int_0^{B_m} J_c(B) dB. \quad (5)$$

Использование формулы (5) приводит к относительной ошибке, имеющей порядок величины $\max\{D_w/L_p; B_p/B_m\}$, что, как правило, сравнимо с погрешностью определения $J_c(B)$ и, следовательно, вполне приемлемо.

Основным препятствием на пути расчета Q_h по формуле (5) является отсутствие данных о J_c в слабых магнитных полях (критические токи при $B \rightarrow 0$ очень велики и их измерение резистивным методом осложнено). Чтобы обойти это затруднение, можно использовать следующий прием. Введем в рассмотрение величину $Q_h^0(B_m)$, определяемую формулой

$$Q_h^0(B_m) = (8/3\pi) \eta D_f B_m J_c(B_m). \quad (6)$$

Величина $Q_h^0(B_m)$, как видно из сравнения (5) и (6), дает заниженное значение $Q_h(B_m)$, так как J_c убывает с ростом B . Между тем при $B_m \geq 3$ Тл величина $J_c(B_m)$, как правило, доступна измерению, и поэтому $Q_h^0(B_m)$ можно легко найти. Для определения $Q_h(B_m)$ по известной величине $Q_h^0(B_m)$ очень удобно использовать результаты экспериментальных измерений намагниченности M как функции B . Так как величина $\Delta M(B)$, согласно концепции критического состояния, прямо пропорциональна $J_c(B)$, а Q_h представляет собой полную площадь S под кривой намагничивания, то $Q_h(B_m)$ можно представить в виде

$$Q_h(B_m) = Q_h^0(B_m)S/S_0, \quad (7)$$

где S_0 — площадь части кривой намагничивания, ограниченной сверху и снизу прямыми $M_0 = M(\pm B_m)$.

Приведем пример расчета гистерезисных потерь для композита П14/4. Параметры композита (табл. 1): $D_w = 0.8$ мм, $L_p = 10$ мм, $D_f = 3.5$ мкм, $N_f = 4675$, $\eta = 0.22$, $I_c = 380$ А при $B_m = 3$ Тл; плотность критического тока в волокнах $J_c = 8.5 \cdot 10^5$ А/см² при $B_m = 3$ Тл. Расчет по формуле (2) дает $B_p = 12$ мТл при $B = 3$ Тл. При уменьшении $B < 3$ Тл величина B_p , конечно, возрастает (так как J_c увеличивается), но условие $B_p \ll B$ остается справедливым практически во всем диапазоне $-B_m < B < +B_m$, за исключением узкого интервала полей вблизи $B = 0$. Поскольку неравенство $D_w \ll L_p$ также выполняется, то для оценки гистерезисных потерь можно использовать формулы (6) и (7).

При $B_m = 3$ Тл из (6) получим $Q_h^0(B_m) = 16.9$ мДж/см³. Отношение $S/S_0 = 2.28$ берем из экспериментальных кривых намагничивания (рис. 1). Из (7) с учетом расчетного значения величины $Q_h^0(B_m)$ получим $Q_h(B_m) = 38.5$ мДж/см³. Экспериментальное значение $Q_h(B_m)$ в образце, для которого проводился расчет, составляет 53 ± 10 мДж/см³, т. е. чуть больше теоретического. Еще раз подчеркнем, что теоретически (с использованием лишь экспериментального значения J_c при $B_m = 3$ Тл) была рассчитана только величина $Q_h^0(B_m)$, а при определении $Q_h(B_m)$ по формуле (7) были использованы результаты измерений кривой намагничивания (откуда мы брали отношение S/S_0). Полный теоретический расчет потерь может быть выполнен только при условии, что известны зависимости I_c или J_c от B во всем диапазоне $0 < B < B_m = 3$ Тл. В силу сказанного полученное нами теоретическое значение $Q_h(B_m)$ должно рассматриваться как оценочное, и поэтому соответствие теории с экспериментом можно считать достаточно хорошим (при расчете гистерезисных потерь в ниобий-оловянных СМК теория, как правило, приводит к заниженной величине потерь [3]). Аналогично были рассчитаны гистерезисные потери в остальных композитах. Результаты расчета приведены в табл. 2.

Обсуждение результатов

Видно, что ближе всего к эксперименту находится расчетное значение Q_h в композите П14/4 с наименьшим числом волокон $N_f = 4675$, в то время как различие между расчетными и измеренными значениями Q_h в остальных СМК весьма значительно и резко увеличивается с ро-

стом N_f . Такое сильное расхождение теории с экспериментом говорит о том, что не все исходные предположения, которые были использованы при расчетах, справедливы для описания гистерезисных потерь в композитах с большим числом волокон. Что касается предположения о применимости модели критического состояния, то нет достаточно веских аргументов сомневаться в ее справедливости, поскольку эта модель обладает достаточно большой степенью общности (по крайней мере в той ее форме, которая учитывает зависимость J_c от B).

По-видимому, неверным является предположение об аддитивном вкладе сверхпроводящих волокон в полную величину потерь. Эта аддитивность действительно может нарушаться (и подобные явления в физике СМК известны [3–6]), если волокна пересекаются или между ними имеется эффект близости. “Взаимодействие” волокон может приводить к резкому росту гистерезисных потерь, так как вместо независимых волокон возникает одна или несколько областей, каждая из которых представляет собой группу из большого числа волокон. Эффективный диаметр этих областей $D_{\text{eff}} > D_f$ зависит, вообще говоря, от B [6] и может быть найден по формуле

$$D_{\text{eff}}(B) = (3\pi/4)\Delta M(B)/\eta J_c(B). \quad (8)$$

Усредненную, не зависящую от B величину D_{eff}^* для цикла $-B_m < B < +B_m$ можно также определить по формулам (6) и (7), заменяя в (6) геометрический диаметр волокна D_f на D_{eff}^* и приравнивая расчетное значение $Q_h(B_m)$ к экспериментальному (так как последнее всегда больше расчетного (табл. 2), то $D_{\text{eff}}^* > D_f$)

$$D_{\text{eff}}^* = Q_h(B_m)(3\pi S_0/8\eta S B_m J_c(B_m)). \quad (9)$$

Важно отметить, что найденная по формуле (9) величина D_{eff}^* соответствует усредненной по диапазону $0 < B < B_m$ величине $D_{\text{eff}}(B)$, так как D_{eff} (в отличие от D_f) может зависеть от B (см. (8)). Так, в ниобий-титановых СМК с субмикронными волокнами большая величина $D_{\text{eff}}(B)/D_f$ в слабых полях обусловлена эффектом близости между отдельными волокнами [6]; при этом увеличение B ведет к экспоненциальному (по B) уменьшению отношения $D_{\text{eff}}(B)/D_f$, которое при $B = 1$ Тл оказывается на несколько порядков меньше, чем при $B = 0$, что связано с быстрым подавлением эффекта близости в магнитном поле. Таким образом, различие между усредненной величиной D_{eff}^* , определенной по результатам измерения $Q_h(B_m)$ с использованием формулы (9), с одной стороны, и величиной $D_{\text{eff}}(B_m)$, найденной по экспериментальным значениям $\Delta M(B_m)$ и $J_c(B_m)$, с другой стороны, свидетельствует о сильной зависимости D_{eff} от B . А это в свою очередь является прямым указанием на определяющую роль эффектов близости (т. е. бесконтактного электромагнитного взаимодействия сверхпроводящих волокон) в механизме увеличения D_{eff} .

Подчеркнем, что отличие D_{eff} от D_f приводит к увеличению поля полного проникновения B_p , определяемого формулой (2), поскольку в этой формуле D_f следует заменить на $D_{\text{eff}} > D_f$. Как следствие, величина B_p существенно возрастает (в СМК П2/14 и П3/25 с большим

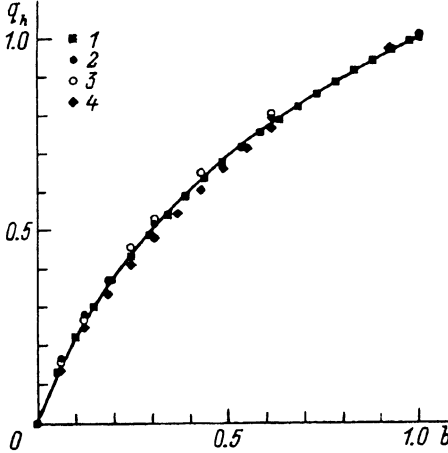


Рис. 6. Зависимости нормированных гистерезисных потерь $q_h = Q_h(B_m)/Q_h(B_m^0)$ от амплитуды приведенного магнитного поля $b = B_m/B_m^0$ для композитов с разным числом волокон при $B_m^0 = 3$ Тл.
Сплошная кривая — $q_h(b) = \ln(1 + \gamma b)/\ln(1 + \gamma)$, $\gamma = 4.5$; 1–4 — то же, что и на рис. 5.

числом волокон — на порядок) и при $B = 3$ Тл превышает 0.1 Тл (в слабых полях B_p еще больше, так как J_c выше). Такое резкое увеличение B_p ведет к ухудшению соответствия между экспериментальными и рассчитанными по формулам (6) и (7) значениями гистерезисных потерь в слабых ($B_m < 0.5$ Тл) магнитных полях.

Что же показали расчеты, выполненные для исследованных нами СМК? Оказалось, что равенство $D_{\text{eff}}^* = D_{\text{eff}}(B_m)$ выполняется с очень хорошей точностью в каждом СМК, хотя значения D_{eff}^* в различных СМК существенно различаются (табл. 2). Следовательно, эффективный диаметр волокон D_{eff} не зависит от B и одинаков как в слабых, так и в сильных полях. Значит, большая величина D_{eff} связана не с эффектом близости, а с пересечением и (или) частичным соприкосновением волокон на стадии синтеза СМК. Учитывая, что волокна изначально распределены по СМК неоднородно и образуют связки-стренды, можно предположить, что эффективный диаметр волокна D_{eff} находится в пределах $D_f < D_{\text{eff}} < D_s$, где D_s — средний диаметр одного стренда. Чем больше число пересечений волокон в пределах стренда, тем ближе D_{eff} к D_s . Значения D_s приведены в табл. 2. Видно, что D_{eff} увеличивается с ростом N_f , а в образце П3/25 с $N_f = 25531$ величины D_{eff} и D_s практически равны (тогда как в образце П14/4 с $N_f = 4675$ значение D_{eff} близко к геометрическому диаметру волокон D_f).

Таким образом, наиболее вероятная причина увеличения гистерезисных потерь с ростом числа волокон в ниобий-оловянных (в отличие от ниобий-титановых [6]) СМК заключается, по-видимому, в частичном соприкосновении волокон. Такое соприкосновение возможно тем более, что при образовании соединения Nb₃Sn имеет место увеличение объема волокон. Поэтому одной из главных задач совершенствования технологии нам представляется поиск путей увеличения расстояния между сверхпроводящими волокнами в пределах одного стренда. Ее решение позволило бы существенно понизить потери, сохранив при этом высокие I_c (табл. 1).

В заключение остановимся чуть более подробнее на зависимости Q_h от амплитуды магнитного поля B_m (рис. 5). Оказалось, что зависимость нормированных гистерезисных потерь $q_h = Q_h(B_m)/Q_h(B_m^0)$

от приведенной амплитуды $b = B_m/B_m^0$ является универсальной для всех СМК независимо от числа волокон в композитах и несмотря на то, что абсолютные значения $Q_h(B_m)$ различаются более чем на порядок. Соответствующие экспериментальные данные представлены на рис. 6 для $B_m^0 = 3$ Тл.

Принимая во внимание формулу (5), универсальную зависимость q_h от b можно объяснить одинаковой функциональной зависимостью J_c от B во всех исследованных СМК. Действительно, полагая, согласно модели Андерсона-Кима, $J_c = J_{c0}B_0/(B + B_0)$, где $J_{c0} = J_c(B = 0)$ и B_0 — константы, получим из (5), согласно определению величины q_h ,

$$q_h(b) = \ln(1 + \gamma b) / \ln(1 + \gamma), \quad (10)$$

где $\gamma = B_m^0/B_0$.

Наилучшее совпадение функции (10) с экспериментом достигается при $\gamma = 4.5 \pm 0.5$ (рис. 6), откуда следует $B_0 = 0.67 \pm 0.07$ Тл.

Выводы

В заключение перечислим основные полученные в данной работе результаты и сделанные на их основе выводы.

1. Допустимый для использования в магнитной системе ITER уровень гистерезисных потерь (менее 200 мДж/см³) имеют композиты с числом волокон $N_f = 4675$ и $N_f = 7225$. Потери резко увеличиваются с ростом N_f .

2. Численная оценка гистерезисных потерь, основанная на предположении об аддитивном вкладе каждого волокна, справедлива только для композитов с $N_f = 4675$.

3. Эффективный диаметр D_{eff} сверхпроводящих волокон резко увеличивается с ростом N_f и при $N_f = 25531$ достигает среднего диаметра стренда, превышая “геометрический” диаметр волокон D_f на порядок величины. Отсутствие зависимости D_{eff} от индукции магнитного поля указывает на возможное частичное соприкосновение волокон в пределах одного стренда, что в свою очередь может являться причиной увеличения гистерезисных потерь с ростом N_f .

4. Обнаружен универсальный характер зависимости гистерезисных потерь от приведенной амплитуды магнитного поля, что свидетельствует об одинаковой функциональной зависимости $J_c(B) \sim (B + B_0)^{-1}$ во всех композитах независимо от величины N_f .

Список литературы

- [1] Никулин А.Д., Филькин В.Я., Ковалева В.А. и др. // Изв. вузов. Сер. Цветные металлы. 1974. № 9. С. 61–64.
- [2] Fietz W.A. // Rev. Sci. Instr. 1965. Vol. 36. N 11. P. 1621–1626.
- [3] Grosh A.K., Robins K.E., Sampson W.B. // IEEE Trans. Magn. 1985. Vol. 21. N 2. P. 328–331.
- [4] Yamafuji K., Iwakuma M., Tomita Y. et al. // IEEE Trans. Magn. 1987. Vol. 23. N 2. P. 1355–1358.
- [5] Kubota Y., Ogasawara T. // IEEE Trans. Magn. 1987. Vol. 23. N 2. P. 1359–1362.
- [6] Grosh A.K., Sampson W.B. // IEEE Trans. Magn. 1987. Vol. 23. N 2. P. 1724–1727.